

10

© 1993 г.

НЕЛИНЕЙНАЯ СТАДИЯ РАЗВИТИЯ ЦИКЛОТРОННОЙ НЕУСТОЙЧИВОСТИ ПУЧКА В ЗАМЕДЛЯЮЩЕЙ СТРУКТУРЕ

М. И. Капчинский, Л. А. Юдин

Рассмотрена нелинейная стадия взаимодействия электронного пучка с замедляющей структурой при возбуждении в пучке медленной циклотронной волны. Считается, что пространственная структура поля определяется замедляющей структурой и не искажается пучком. Уравнения движения частиц и возбуждения волны разложены в ряд до членов четвертого порядка малости по амплитуде волны. Развито квазиквадратичное приближение и показано, что оно с хорошей точностью описывает результаты нелинейной модели. Определено влияние расстройки от точного циклотронного резонанса на процессы развития неустойчивости; вычислено ее бифуркационное значение, найдена область параметров, позволяющих получить значительное усиление затравочной волны структуры без существенного изменения состояния электронного пучка. Показана связь результатов нелинейного рассмотрения с развитой ранее линейной теорией.

Введение

Резонансно неустойчивое взаимодействие медленной циклотронной волны прямого электронного пучка с волной замедляющей структуры может быть использовано для усиления сигналов или генерации колебаний в СВЧ электронике. В [1] предложено применить такую неустойчивость для возбуждения медленных циклотронных волн пучка и дальнейшего использования их в целях коллективного авторезонансного ускорения ионов [2].

Возбуждение азимутально-несимметричной циклотронной волны в замедляющей структуре типа меандра было проведено в [3]. Симметричные по азимуту циклотронные волны возбуждались с использованием спиральной замедляющей структуры [4] в слаботочном электронном пучке и в [5] в мощном релятивистском пучке. Теоретическое рассмотрение неустойчивости медленных циклотронных волн в нерелятивистском пучке было впервые выполнено в [6], а ее связь с аномальным эффектом Допплера показана в [7]. В работе [8] найдено выражение для инкрементов этой неустойчивости в релятивистском пучке при достаточно слабом токе, когда собственная волна замедляющей структуры практически не искажается пучком. Линейная теория циклотронной неустойчивости пучка

в спирали при произвольных токах пучка разработана в [9]. Численное моделирование линейной стадии неустойчивости проведено в [1]. Модель для описания нелинейной стадии неустойчивости предложена в [10]: там рассмотрено движение электрона в плоской поперечной волне, причем начальная амплитуда волны принята достаточно высокой, а усиление волны по длине СВЧ прибора малым. Отметим также работу [11], где изучается теория прибора типа ЛОВ на аномальном эффекте Доплера в поле плоской волны круговой поляризации.

В данной работе мы рассматриваем прибор типа лампы с бегущей волной и отказываемся от приближения плоской волны; это позволяет учесть модуляцию плотности заряда в пучке. Считаем, что картина поперечного распределения поля волны (в приближении слабого тока пучка) определяется замедляющей структурой. Основное внимание уделено структуре типа спирального волновода.

1. Примем простейшую модель электронного пучка — бесконечно тонкий трубчатый пучок движется (в равновесном состоянии) без вращения вдоль силовых линий внешнего продольного магнитного поля H_0 . По волноводному тракту, окружающему пучок, распространяется электромагнитная волна с продольными компонентами электрического и магнитного полей вида

$$\begin{aligned}\mathcal{E}_z &= \alpha(z) E_z(\mathbf{r}_\perp) \cos[\omega t - hz + \psi(z)], \\ \mathcal{B}_z &= -\alpha(z) B_z(\mathbf{r}_\perp) \sin[\omega t - hz + \psi(z)],\end{aligned}\quad (1)$$

где ω — частота волны; h — продольное волновое число; z — продольная координата; $E_z(r)$ и $B_z(r)$ — функции, описывающие поперечную структуру продольных компонент поля волны (для определенности $E_z > 0$ на радиусе пучка); $\alpha(z)$ и $\psi(z)$ — медленно меняющиеся амплитуда и фаза волны.

Из поперечных (радиальной и азимутальной) компонент поля составим “поляризационные” комбинации

$$\mathcal{E} = \mathcal{E}_r + i\mathcal{E}_\Theta; \quad \mathcal{B} = \mathcal{B}_r + i\mathcal{B}_\Theta \quad (2)$$

и выделим амплитуды право- и левовращающихся поляризаций

$$\begin{aligned}\mathcal{E} &= \frac{1}{2} \alpha(z) \{ E_+(\mathbf{r}) \exp[-i\omega t + ihz - i\psi(z)] + E_-(\mathbf{r}) \exp[i\omega t - ihz + i\psi(z)] \}, \\ \mathcal{B} &= \frac{1}{2} \alpha(z) \{ B_+(\mathbf{r}) \exp[-i\omega t + ihz - i\psi(z)] + B_-(\mathbf{r}) \exp[i\omega t - ihz + i\psi(z)] \} \quad (3)\end{aligned}$$

(использована система обозначений из [12]).

Уравнение движения

$$\frac{d\mathbf{p}}{dt} = e \left\{ \mathcal{E} + \frac{1}{c} [\mathbf{v}, \mathbf{e}_z H_0 + \mathcal{B}] \right\}, \quad (4)$$

где e — заряд, \mathbf{p} — импульс, \mathbf{v} — скорость частицы, c — скорость света, \mathcal{E} и \mathcal{B} — электрическое и магнитное поля волны.

Скорость и импульс частиц связаны соотношением $\mathbf{p} = m\gamma\mathbf{v}$, где m — масса. Релятивистский фактор частицы γ в свою очередь подчиняется уравнению

$$\frac{d\gamma}{dt} = \frac{e}{mc^2} \mathbf{v} \cdot \mathcal{E}. \quad (5)$$

Составим из поперечных составляющих скорости и импульса частиц аналогично (2) “поляризационные” комбинации

$$p = p_r + i p_\theta, \quad v = v_r + i v_\theta. \quad (6)$$

Уравнение для них следует из (4)

$$\frac{dp}{dt} + i\Omega_0 v = e \left\{ \mathcal{E} + \frac{i}{c} (v_z \mathcal{B} - v \mathcal{B}_z) \right\}, \quad (7)$$

где $\Omega_0 = eH_0/mc$ (считаем для определенности $\Omega_0 > 0$).

Продольная составляющая уравнения (4) имеет вид

$$\frac{dp_z}{dt} = e \left\{ \mathcal{E}_z + \frac{1}{c} \operatorname{Im}(v^* \mathcal{B}) \right\}. \quad (8)$$

Уравнение (5) в этих обозначениях выглядит так:

$$\frac{d\gamma}{dt} = \frac{e}{mc^2} \{v_z \mathcal{E}_z + \operatorname{Re}(v^* \mathcal{E})\}. \quad (9)$$

Лагранжеву производную по времени в уравнениях (7)–(9) следует заменить на эйлерову по правилу

$$\frac{d}{dt} = \frac{\partial}{\partial t} + v_z \frac{\partial}{\partial z}.$$

Рассматривая движущиеся электроны пучка как источники, изменяющие амплитуду и фазу бегущей мимо них электромагнитной волны, напишем, согласно [13],

$$\begin{aligned} \frac{d\alpha}{dz} &= -\frac{1}{4S_z} \operatorname{Re} \int \overline{\mathbf{j}_k \mathbf{E}_k^*} d\sigma, \\ \alpha \frac{d\psi}{dz} &= \frac{1}{4S_z} \operatorname{Im} \int \overline{\mathbf{j}_k \mathbf{E}_k^*} d\sigma, \end{aligned} \quad (10)$$

где интегрирование ведется по поперечному сечению волновода; черта сверху означает усреднение по периоду высокой частоты; индексом k помечены комплексные амплитуды бегущих волн; S_z — поток энергии, переносимой через сечение волновода волной с единичной амплитудой.

Плотность тока составляет $\mathbf{j} = \rho \mathbf{v}$, где ρ — плотность заряда в пучке.

В наших обозначениях комплексные амплитуды радиальной и азимутальной компонент поля равны

$$E_{kr} = \frac{1}{2} (E_+ + E_-^*); \quad E_{k\theta} = \frac{1}{2} (E_+ - E_-^*) \quad (11)$$

и аналогично для поперечных составляющих плотности тока.

2. Рассмотрим здесь приближенную модель неустойчивости, допускающую аналитическое решение. Следуя [14], представим лоренц-фактор частиц γ , продольную составляющую импульса p_z и плотность заряда ρ

в виде суммы медленно меняющейся компоненты (она будет обозначена чертой сверху) и быстропеременного слагаемого. Поперечные скорость v и импульс p , согласно принятой модели равновесия пучка, будут состоять только из быстро переменной части. Все эти переменные составляющие зашифрованы в едином виде. Для комплексных величин, например, поперечного импульса

$$p = \frac{1}{2}[p_+(z) \exp(-i\omega t + ihz - i\psi) + p_-(z) \exp(i\omega t - ihz + i\psi)], \quad (12)$$

для действительных величин

$$\gamma = \bar{\gamma} + \frac{i}{2}[\gamma_1(z) \exp(-i\omega t + ihz - i\psi) - \gamma_1^*(z) \exp(i\omega t - ihz + i\psi)], \quad (13)$$

аналогично для ρ и p_z . В (12) и (13) $p_+(z)$, $p_-(z)$ и $\gamma_1(z)$ — медленно меняющиеся амплитуды. Здесь мы рассматриваем уже только азимутально-симметричные волны. В разложении же продольной составляющей скорости v_z оставим только медленно меняющееся слагаемое: линейная теория циклотронных волн [15, 16] приводит к выводу, что амплитуда быстрых колебаний v_z гораздо меньше, чем такие же амплитуды у поперечных составляющих скорости.

При вычислении интеграла в уравнениях возбуждения (10) следует учесть вытекающую из уравнения непрерывности связь

$$\rho_1 = \frac{1}{2(hv_z - \omega)} \operatorname{div}_\perp [\bar{\rho}(v_+ + V_-^*)] \quad (14)$$

и “продольное” слагаемое $\rho_1 v_z E_z$ в подынтегральном выражении проинтегрировать по частям, используя уравнения Максвелла для компонент поля. В результате подынтегральное выражение в (10) будет пропорционально $\bar{\rho}$, соотношение для него при отсутствии высокочастотной модуляции продольной скорости

$$\int \bar{\rho} d\sigma = \frac{J}{\beta},$$

где J — ток пучка, $\beta = \bar{v}_z/c$. Результат интегрирования

$$\int \overline{j_k E_k^*} d\sigma = \frac{-\omega J}{2(hv_z - \omega)} [V_+(E_+^* + i\beta B_+^*) + V_-^*(E_- - i\beta B_-)],$$

где E_\pm и B_\pm взяты на радиусе пучка.

Исследование уравнения поперечного движения (7) показывает, что слагаемые из представления (12) и ему аналогичных, пропорциональные амплитудам с индексом “+”, описывают развитие в пучке быстрой циклотронной волны (дисперсионное уравнение $\omega - h\bar{v}_z \simeq \Omega_0/\bar{\gamma}$), а члены, помеченные индексом “-”, соответствуют медленной циклотронной волне ($\omega - h\bar{v}_z \simeq -\Omega_0/\bar{\gamma}$). Поскольку с самого начала интересует неустойчивость медленной циклотронной волны и начальные условия развития неустойчивости будут соответствовать (с точностью до расстройки) дисперсионному уравнению медленной волны, то во всех уравнениях

пренебрежем членами с амплитудами, обладающими индексом “+”. Индекс “-” у амплитуд в дальнейшем для сокращения записей опустим.

В такой записи уравнения движения (7)–(9) и возбуждения (10) принимают простой вид

$$\begin{aligned} g' &= \frac{\beta B - iE}{\beta} \varepsilon \cos \varphi, \\ \varphi' &= - \left[\frac{h_1 \beta - \omega_1}{\beta} - \frac{\Omega_r(1 + \Delta)}{\mathcal{P}} \right] - \frac{\beta B - iE}{\beta} \frac{\varepsilon \sin \varphi}{g} - \\ &\quad - \zeta \frac{\omega_1}{h_1 \beta - \omega} (\beta B - iE) \frac{g \sin \varphi}{\varepsilon \mathcal{P}}, \\ \varepsilon' &= \zeta \frac{\omega_1}{h_1 \beta - \omega_1} (\beta B - iE) \frac{g \cos \varphi}{\mathcal{P}}, \\ \mathcal{P}' &= - \frac{h_1}{h_1 \beta - \omega_1} (\beta B - iE) \frac{\varepsilon g}{4\mathcal{P}} \cos \varphi, \end{aligned} \quad (15)$$

где введены безразмерные обозначения $\varepsilon = eas/mc^2$, s — характерный поперечный размер системы, $\mathcal{P} = p_z/mc = \beta \bar{\gamma}$, $h_1 = hs$, $\omega_1 = \omega s/c$, коэффициент

$$\zeta = \frac{cs^2}{8S_z} \frac{J}{J_0},$$

$J_0 = mc^3/e$ — альфвеновский ток, штрихом обозначена производная по безразмерной координате $x = z/s$, амплитуда поперечного импульса представлена в форме $p_{-}(z) = imcg(z) \exp[-i\varphi(z)]$, $g(z)$ и $\varphi(z)$ — медленно меняющиеся действительные функции.

Уравнение для фазы электромагнитного поля $\psi(z)$ отщепляется и нас далее не интересует. Фаза $\psi(z)$ есть по существу сдвиг между фазой поля и фазой циклотронного вращения частицы. При выводе уравнений (15) существенно использовался факт, что в бегущей волноводной моде с продольными компонентами полей вида (1) полевая комбинация B (в обозначениях предыдущего раздела B_-) является чисто действительной, а комбинация E — чисто мнимой. Релятивистский фактор $\bar{\gamma} = \mathcal{P}/\beta$ в свою очередь удовлетворяет уравнению

$$\gamma' = - \frac{\omega_1}{h_1 \beta - \omega_1} (\beta B - iE) \frac{\varepsilon g}{4\mathcal{P}} \cos \varphi. \quad (16)$$

Во втором из уравнений (16) Δ — небольшая по сравнению с единицей расстройка от точного циклотронного резонанса на аномальном эффекте Доппеля

$$H_0 = H_{\text{res}}(1 + \Delta),$$

величина H_{res} точно удовлетворяет условию резонанса для невозмущенного пучка

$$H_{\text{res}} = \frac{mc}{e} \gamma_0 (hv_{z0} - \omega),$$

индексом “0” помечены начальные значения параметров, циклотронная частота $\Omega_r = eH_{\text{res}}s/mc^2$.

При усреднении уравнений (8) и (9) учтено, что частицы совершают поперечные осцилляции в неоднородном по поперечному сечению электромагнитном поле, так что $\bar{E}_z = r_\perp \cdot v_\perp \bar{E}_z$, где $d\bar{r}_\perp/dt = \bar{v}_\perp$.

Из последнего из уравнений (15) и (16) получим соотношение, которое легко интегрируется и дает

$$\mathcal{P} - \mathcal{P}_0 = \beta_\phi (\bar{\gamma} - \gamma_0), \quad (17)$$

где $\beta_\phi = \omega_1/h_1$ — относительная фазовая скорость бегущей волны.

Соотношение (17) было впервые указано в [17, 18] и использовалось в [10, 19, 20] при исследовании динамики частиц в поле плоской ТЕМ-волны. У нас оно получено для произвольной геометрии поля волны, но носит (в соответствии с используемой моделью) лишь приближенный характер. Это соотношение показывает, что при раскачке волны и уменьшении продольной компоненты импульса кинетическая энергия частиц падает.

Зависимость (17) позволяет связать продольную скорость частиц непосредственно с их продольным импульсом

$$\beta = \frac{\mathcal{P}}{\gamma_0 + \beta_\phi (\mathcal{P} - \mathcal{P}_0)} \quad (18)$$

и замкнуть таким образом систему в уравнениях (15), (16) имеют первый или второй порядок малости относительно безразмерной амплитуды волны $\varepsilon(x)$. Однако реально здесь учтены эффекты и более высокого порядка малости, связанные с зависимостью безразмерных продольного импульса \mathcal{P} и продольной скорости β от координаты x . Поэтому приближение, описываемое уравнениями (15), (18) естественно называть квазиквадратичным.

Для перехода к линейной теории пренебрежем в системе уравнений (15) членами второго порядка малости. Это дает постоянство продольного импульса $\mathcal{P} \equiv \mathcal{P}_0$ и продольной скорости $\beta \equiv \beta_0$. Оставшиеся уравнения позволяют получить для комплексной функции $f = \varepsilon \exp(i\psi)$ уравнение

$$f'' - i \frac{\Omega_r \Delta}{\mathcal{P}_0} f' - \Gamma^2 f = 0 \quad (19)$$

и такое же по виду уравнение для функции $f_1 = g \exp(-i\varphi - i\psi)$. Здесь

$$\Gamma = \sqrt{\zeta \frac{\omega_1}{\Omega_r} \frac{|\beta_0 B - iE|}{\beta_0}} \quad (20)$$

— максимальный линейный инкремент, полученный в [8, 9].

Характер решения (19) зависит от величины расстройки. При $\Delta < \Delta_L$, где

$$\Delta_L = \frac{2\Gamma\mathcal{P}_0}{\Omega_r} \quad (21)$$

— максимальная линейная расстройка, происходит экспоненциальный рост волны с инкрементом $\Gamma \sqrt{1 - \Delta^2/\Delta_L^2}$. При $\Delta > \Delta_L$ амплитуда волны меняется по тригонометрическому закону в форме биений двух колебаний с постоянными распространения $\Gamma(\Delta/\Delta_L \pm \sqrt{\Delta^2/\Delta_L^2 - 1})$.

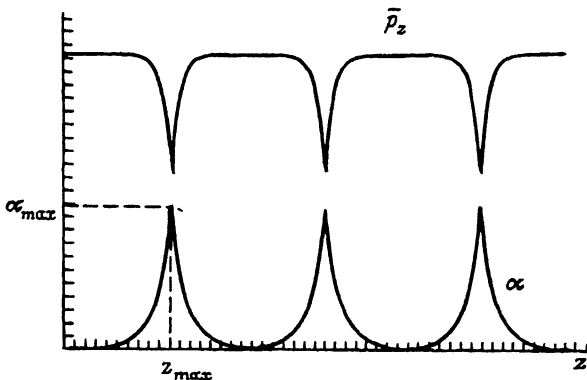


Рис. 1. Зависимость амплитуды волны α и продольной компоненты импульса частиц от продольной координаты z .

В качестве начальных условий к уравнениям (15), (18) примем равенство нулю амплитуды поперечной скорости и амплитуды высокочастотной гармоники релятивистского фактора частиц γ_1 . Величина его медленной составляющей должна быть связана с продольной компонентой импульса электрона очевидным соотношением $\gamma_0^2 = 1 + P_0^2$. Эти начальные условия соответствуют не врачающимся в равновесном состоянии частицам пучка. Начальная радиальная координата для всех частиц тонкого трубчатого пучка одинакова: $r_0 = a$. Геометрия электромагнитного поля соответствовала собственной волне спиральной замедляющей структуры (в приближении анизотропного проводящего цилиндра [13]), фазовая скорость волны бралась малой (~ 0.03 с), ток пучка 1 кА, параметр $ha = 1$, радиус спирали $s = 2a$.

Численное решение системы уравнений (15), (18) в широком диапазоне параметров (импульса \bar{p}_{z0} , расстройки Δ , начальной амплитуды волны α_0) показало, что результаты решения в качественном отношении одинаковы. На рис. 1 приведен характерный вид зависимостей $\alpha(z)$ и $\bar{p}_z(z)$, эти зависимости имеют периодический вид (периодичность во времени процессов в ЛОВ отмечена в [11]). Характеристики процесса насыщения роста волны, которые нас будут интересовать в первую очередь, — длина z_{max} , на которой достигается максимальная амплитуда α_{max} , и коэффициент усиления α_{max}/α_0 , наоборот, резко зависят от параметров задачи, причем наиболее чувствительно от расстройки Δ .

3. Проведем аналитическое исследование системы уравнений (15). Первое и четвертое уравнения системы (15) дают интеграл движения, позволяющий связать амплитуду поперечной компоненты импульса с изменением его продольной составляющей,

$$g = \sqrt{(\mathcal{P}_0 - \mathcal{P})[\mathcal{P}_1(1 + \beta_\phi^2) + \mathcal{P}(1 - \beta_\phi^1) - 2\gamma_0\beta_\phi]}. \quad (22)$$

Третье и четвертое уравнение системы (15) дают первый интеграл, позволяющий найти амплитуду поля волны,

$$\varepsilon = 2\sqrt{2\zeta\beta_\phi(\mathcal{P}_1 - \mathcal{P})}, \quad (23)$$

где

$$\mathcal{P}_1 = \mathcal{P}_0 + \frac{\varepsilon_0^2}{8\zeta\beta_\phi}.$$

Последний интеграл движения в сочетании с (17) выражает закон сохранения потока энергии через поперечное сечение волновода вдоль оси системы $\varepsilon^2 + 8\zeta\bar{\gamma} = \text{const}$.

Отметим, что в спиральной замедляющей структуре с углом захода витков $\varphi_s > 0$ (это соответствует оптимальному режиму усиления волны [9]) комбинация $\beta B - iE$ всегда положительна.

Воспользуемся автономностью системы (15). Разделив второе уравнение на четвертое и учитывая соотношения (22) и (23), получим дифференциальное уравнение первого порядка, описывающее движение системы в фазовой плоскости (φ, \mathcal{P}) . В предположении, что изменение продольной компоненты импульса $\mathcal{P}_0 - \mathcal{P}$ мало по сравнению с \mathcal{P}_0 , это уравнение легко интегрируется и дает уравнение фазовой траектории

$$\frac{(\mathcal{P}_0 - \mathcal{P})(\mathcal{P}_0 - \mathcal{P} + \mu\Delta)^2}{(\mathcal{P}_1 - \mathcal{P})} = \mu^2 \Delta_L^2 \sin^2 \varphi, \quad (24)$$

где $\mu = 2\gamma_0(\beta_0 - \beta_\phi)/(1 - \beta_\phi^2)$.

Начальная точка траектории имеет координаты $\mathcal{P} = \mathcal{P}_0$, $\varphi = 0$.

Знание этих трех интегралов движения позволяет определить решение системы (15), (18). Так, зависимость от координаты безразмерного продольного импульса частиц дается в неявной форме соотношением

$$x = \frac{2\mathcal{P}_0}{h_1(1 - \beta_\phi^2)} \int_0^{\mathcal{P}_0 - \mathcal{P}} \frac{d\xi}{\sqrt{\xi \left[\mu^2 \Delta_L^2 \left(\xi + \frac{\varepsilon_0^2}{8\zeta\beta_\phi} \right) - \xi (\xi + \mu\Delta)^2 \right]}}. \quad (25)$$

Стоящий справа интеграл является эллиптическим, поэтому обратная зависимость $\mathcal{P}(x)$ будет эллиптической (и потому периодической) функцией. Из (23) ясно, что максимальная амплитуда волны ε_{\max} достигается в точке, где частицы имеют наименьший импульс. Этот наименьший импульс \mathcal{P}_{\min} , как следует из (25), является максимальным (или единственным) действительным корнем кубического многочлена, стоящего в скобках в знаменателе правой части (25),

$$(\mathcal{P}_0 - \mathcal{P})(\mathcal{P}_0 - \mathcal{P} + \mu\Delta)^2 = \mu^2 \Delta_L^2 (\mathcal{P}_1 - \mathcal{P}). \quad (26)$$

Безразмерная длина x_{\max} , на которой достигается максимальная амплитуда волны, выражается полным эллиптическим интегралом вида (25), где в качестве верхнего предела фигурирует $\mathcal{P}_0 - \mathcal{P}_{\min}$. Максимальная амплитуда волны будет равна

$$\varepsilon_{\max} = \sqrt{\varepsilon_0^2 + 8\zeta\beta_\phi(\mathcal{P}_0 - \mathcal{P}_{\min})}. \quad (27)$$

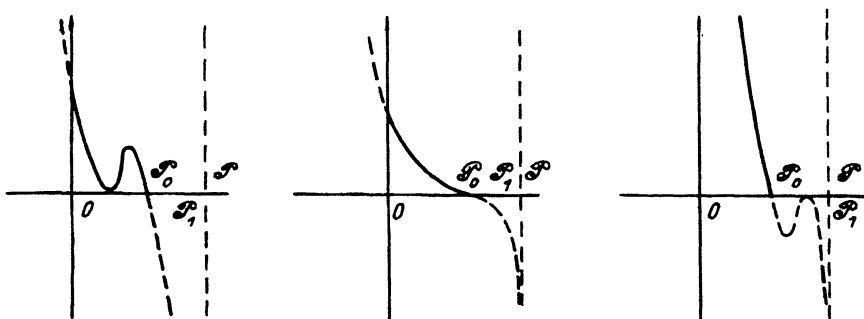
$\Delta < 0$ $\Delta = 0$ $\Delta > 0$ 

Рис. 2. График левой части уравнения (24) как функции продольного импульса для случаев отрицательной, нулевой и положительной расстроек Δ .

Если определить КПД системы как отношение прироста потока энергии, переносимого бегущей электромагнитной волной, к мощности, вносимой немодулированным на входе пучком [10], то он составит

$$\eta = \beta_\phi \frac{P_0 - P_{\min}}{\gamma_0 - 1}$$

и в случае волны с малой фазовой скоростью он невелик.

Исследуем подробнее уравнение (24). Схема его левой части приведена на рис. 2 отдельно для случаев положительной, нулевой и отрицательной расстроек Δ . Штриховой линией показано поведение функции в "нефизической" области при $P > P_0$ и $P < 0$. Поскольку правая часть (24) может меняться только в пределах от 0 до $\mu^2 \Delta_L^2$, то и аргумент P левой части ограничен в своем изменении. При небольших по сравнению с единицей значениях расстройки Δ_L импульс P может уменьшаться вплоть до нуля лишь при начальных амплитудах волны

$$\varepsilon_0 = \frac{\Omega_r}{|\beta_0 B - iE|} \frac{P_0 + \mu\Delta}{\gamma_0} \sqrt{\frac{P_0(1 - \beta_\phi^2)}{\mu}}, \quad (28)$$

т. е. когда амплитуда волны α становится сравнимой с величиной продольного статического магнитного поля H_0 . Однако в этом случае нарушается предположение о небольшом уменьшении продольного импульса, так что здесь можно уверенно говорить лишь о сильном замедлении пучка.

Интересен случай отрицательных расстроек. Здесь существует бифуркационное значение $\Delta = \Delta_b$, при котором меняется характер корней кубического уравнения (25): когда абсолютная величина расстройки начинает превосходить $|\Delta_b|$, у этого уравнения вместо трех действительных корней остается один. Значение бифуркационной расстройки составляет

$$\Delta_b = -\Delta_L \left(\frac{\varepsilon_0}{\varepsilon_{\text{пор}}} \right)^2 d \left(d + \frac{3}{2} \right), \quad (29)$$

где d — положительное решение уравнения

$$d^4 + d^3 = \Delta_L^2 \left(\frac{\varepsilon_{\text{пор}}}{\varepsilon_0} \right)^4,$$

а безразмерная пороговая амплитуда

$$\varepsilon_{\text{пор}} = 2\sqrt{\zeta\mu\beta_\Phi\Delta_L}.$$

В частном случае $\varepsilon_0 \ll \varepsilon_{\text{пор}}$ бифуркационная расстройка $\Delta_b \simeq -\Delta_L$, в противном случае $\varepsilon \gg \varepsilon_{\text{пор}}$ справедливо

$$\Delta_b \simeq -\frac{3}{2}\Delta_L \left(\frac{\varepsilon_0}{\varepsilon_{\text{пор}}} \right)^{2/3}.$$

Исследование соотношения (29) показывает, что в общем случае $\Delta_b \leq -\Delta_L$.

В зависимости от величины Δ меняется характер движения рабочей точки по фазовой траектории. При $\Delta \geq 0$ $\Delta < \Delta_b$ и импульс \mathcal{P} уменьшается от \mathcal{P}_0 до \mathcal{P}_{\min} (амплитуда волны возрастает согласно (23)), а величина $\sin^2 \varphi$ монотонно возрастает от нуля до единицы, после чего начинается спад амплитуды. В диапазоне же $\Delta_b < \Delta < 0$ при уменьшении \mathcal{P} значение $\sin^2 \varphi$ сначала возрастает, потом падает до нуля и вновь растет до единицы. Таким образом, здесь система вторично “затягивается в резонанс”. Дело в том, что при выборе значения магнитного поля H_0 ниже “первично резонансного” H_{res} в дальнейшем при развитии неустойчивости кинетическая энергия уменьшается и циклотронная частота $\Omega = eH_0/\gamma mc^2$ возрастает и проходит через резонансное значение.

При $\Delta \simeq \Delta_b$ на нелинейной стадии взаимодействия пучка с электромагнитной волной реализуется режим динамического хаоса, когда малые возмущения начальных условий существенно изменяют характер движения частиц в поле волны [21].

Отметим, что и положительная величина расстройки $\Delta = -\Delta_b$ является физически значимой. Исследование интеграла в формуле (25) показывает, что при $|\Delta| < |\Delta_b|$ рост величины $\mathcal{P}_0 - \mathcal{P}(x)$ носит на начальном этапе экспоненциальный характер, а при $|\Delta| > |\Delta_b|$ —тригонометрический. Таким образом, бифуркационная расстройка является обобщением на нелинейный случай понятия максимальной линейной расстройки. Но нелинейная теория кроме порогового характера зависимости поведения системы от расстройки указывает еще и на “анизотропность” расстройки (для случая комбинационного черенковского резонанса такое явление указано в [21], для комбинационного циклотронного резонанса в [22]). Выше мы уже видели, что квазивадратичная теория предсказывает существенно большую величину максимальной амплитуды волны ε_{\max} при отрицательных расстройках, чем при положительных в диапазоне $|\Delta| < |\Delta_b|$.

4. Модель, описываемая системой уравнений (15), (18), не является полной: она учитывает не все члены из уравнений (7)–(9), порядка малости третьего и выше относительно амплитуды волны. Нелинейный характер уравнений (7)–(9) требует учета возникновения гармоник (высших

и нулевой) в параметрах движения частиц. Выражение для поперечного импульса, например, следует искать в виде (вместо (12))

$$p = \bar{p}(z) + \frac{1}{2} \sum_n \{ p_{+n}(z) \exp[in(-\omega t + hz - \psi)] + p_{-n}(z) \exp[-in(-\omega t + hz - \psi)] \} \quad (30)$$

и аналогично для поперечной скорости частиц. Действительные переменные (аналог выражения (13)) запишем как

$$\gamma = \bar{\gamma}(z) + \frac{1}{2} \sum_n \{ \gamma_n(z) \exp[in(-\omega t + hz - \psi)] - \gamma_n^*(z) \exp[-in(-\omega t + hz - \psi)] \} \quad (31)$$

и соответственно для плотности заряда ρ и продольного импульса p_z . В этих выражениях \bar{p} , \bar{v} , $\bar{\gamma}$, $\bar{\rho}$, $p_{\pm n}$, $v_{\pm n}$, γ_n , ρ_n и p_{zn} — медленные функции координаты z . Высокочастотной модуляцией продольной скорости мы по-прежнему пренебрегаем.

В предельном случае малой амплитуды волны $\alpha \rightarrow 0$ “медленные величины” $v(z)$ и $\bar{p}(z)$, ответственные за расширение и раскрутку пучка, имеют в рамках принятой модели равновесия пучка второй порядок малости относительно α , изменение величин $\bar{\gamma}$, v_z и $\bar{\rho}$ также второго порядка малости, порядок малости амплитуд гармоник совпадает с номером соответствующей гармоники. Учет в уравнениях членов только первого порядка малости приводит к соотношениям линейной теории [8,9].

Численно решалась система уравнений, учитывающая члены вплоть до четвертого порядка малости. Замкнутая система уравнений задачи включает в себя уравнения движения (7) и (9) (гармоники от нулевой до третьей), нулевую гармонику уравнения (8) для продольного импульса и уравнения возбуждения волны (10) — всего 23 нелинейных дифференциальных уравнений первого порядка для 37 вещественных функций от продольной координаты z и 14 билинейных алгебраических уравнений, являющихся следствиями “уравнений состояния” $p_z = m\gamma v_z$, $p = m\gamma v$. К этой системе следует добавить уравнение для реальной координаты электрона

$$v_z \frac{d\bar{r}}{dz} = \operatorname{Re}(\bar{v}), \quad (32)$$

поскольку именно эта координата определяет величины электромагнитных полей, действующих на частицу, в уравнениях движения (7)–(9). При этом в уравнениях движения можно пренебречь полями с частотами, кратными основной, поскольку их учет дает поправки малого порядка $\gamma_0^2 \omega_b^2 / \Omega_0^2$ к полученному решению, где ω_b — ленгмюровская частота пучка.

Описанные выше выводы квазиквадратичной теории справедливы, строго говоря, только в случае малого изменения продольной компоненты импульса частиц. Однако сравнение их с численными результатами полномасштабной модели показывает, что аналитическая теория обладает хорошими предсказывающими качествами и за пределами той области параметров, для которой она была первоначально обоснована. Зависимости, представленные на рис. 1, например, получены из решения полной нелинейной модели при начальной энергии пучка, соответствующей $\gamma_0 = 1.5$. Единственный вывод квазиквадратичной теории, от которого

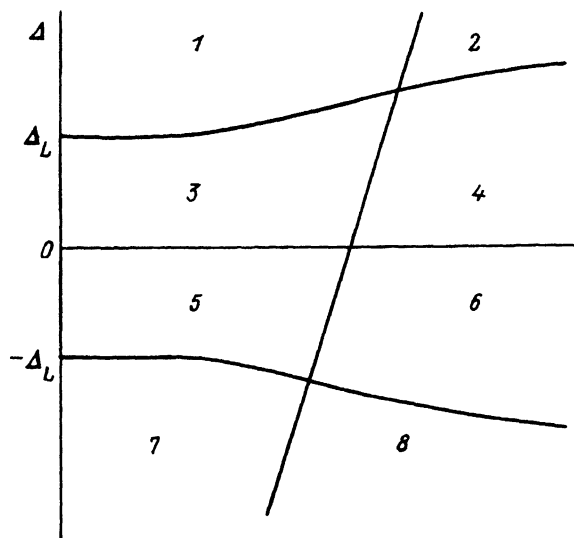


Рис. 3. Диаграмма состояний системы “пучок–структура”.

приходится отказаться, это заключение о том, что бифуркационная расстройка Δ_b всегда меньше по абсолютной величине, чем ее предельное при малых амплитудах волны значение — максимальная расстройка Δ_L .

5. Соотношения (28) и (29) позволяют показать “диаграмму состояния” системы “пучок–структура” в координатах начальная амплитуда–расстройка, т.е. (ε_0, Δ) . Она приведена на рис. 3. Прямой линией приведена зависимость (28), нижняя кривая — функция $\Delta = \Delta_b(\varepsilon_0)$ согласно формуле (29), верхняя кривая — ее зеркальное отражение $\Delta = -\Delta_b(\varepsilon_0)$. Эти три линии разбивают полуплоскость параметров на 8 областей. Области с номерами 2, 4, 6 и 8, лежащие справа от прямой, соответствуют параметрам, при которых происходит сильное замедление электронного пучка и, следовательно, изменение его структуры и дисперсионных характеристик медленной циклотронной волны, распространяющейся в нем. При использовании циклотронной неустойчивости пучка в СВЧ приборе типа лампы с бегущей волной усилителя — наиболее подходящей областью параметров является область 6, поскольку именно в ней происходит значительное усиление волны и может быть достигнут максимальный КПД. Отметим, что именно этот диапазон параметров был рассмотрен в [10]. При использовании циклотронной неустойчивости в коллективном авторезонансном ускорителе ионов достижение сильнолинейной стадии развития волны и замедления пучка является, по-видимому, нежелательным. Оно будет препятствовать процессу управляемого увеличения фазовой скорости медленной циклотронной волны и, следовательно, не позволит эффективно провести ускорение ионов. Для спирального возбудителя медленных циклотронных волн в авторезонансном ускорителе следует рекомендовать область начальных параметров 5, так как именно в ней может быть достигнуто большое усиление волны без значительного замедления пучка. Попасть в эту область диаграммы состояний можно, выбрав небольшую начальную амплитуду волны и расстройку $-\Delta_L < \Delta < 0$.

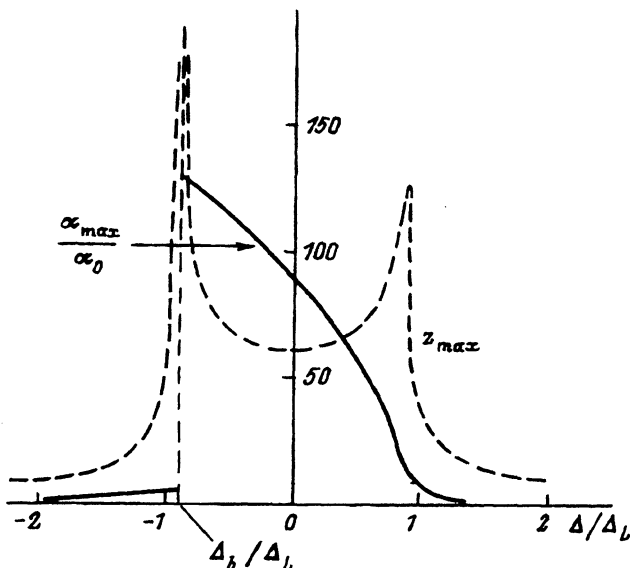


Рис. 4. Зависимость коэффициента усиления волны α_{\max}/α_0 и длины z_{\max} (в см), на которой достигается амплитуда, от отношения Δ/Δ_L .

На рис. 4 представлены зависимости коэффициента усиления волны α_{\max}/α_0 и длины z_{\max} , на которой достигается в первый раз максимальная амплитуда волны, от отношения расстройки Δ к величине Δ_L . Параметры пучка: ток 1 кА, релятивистский фактор $\gamma_0 = 1.5$. Геометрический параметр $ha = 1$, начальный радиус трубчатого пучка $a = 1$ см, радиус спирали вдвое больше радиуса пучка, начальная амплитуда волны $\alpha_0 = 50$ кВ/м (соответствует $\epsilon = 2 \cdot 10^{-3}$), фазовая скорость волны 0.03 от скорости света, частота волны 145 МГц. Для этих параметров, согласно нашим формулам, линейный инкремент $\Gamma = 0.087$, максимальная линейная расстройка $\Delta_L = 0.10$, параметр $\zeta_0 = 0.61$, пороговая амплитуда $\epsilon_{\text{пор}} = 0.13$. Максимальный КПД при $\Delta = \Delta_b$ составляет 3%.

При изменении расстройки Δ от -0.20 до 0.20 изображающая точка пересекает на диаграмме состояний (рис. 3) последовательно области 7, 5, 3 и 1. Видно, что бифуркационная расстройка здесь немного меньше по абсолютной величине, чем Δ_L . Подчеркнем также четный характер функции $z_{\max}(\Delta)$ (кроме окрестности точки $\Delta = \Delta_b$; ср. в связи с этим [22]). Качественный вид графиков на рис. 4 сохраняется в широком диапазоне параметров задачи. Расчеты проводились по полной системе уравнений движения и возбуждения, описанных выше.

Этот рисунок подтверждает вывод квазиквадратичной теории о том, что параметры спирального возбудителя медленных циклотронных волн для авторезонансного ускорителя ионов при небольшой амплитуде затравочной волны $\alpha_0 < |mc^2/es|$, где s — характерный поперечный размер системы, должны удовлетворять условию $-\Delta_L < \Delta < 0$. Такой выбор позволит добиться усиления волны по амплитуде в сотни раз без существенного замедления и разрушения электронного пучка.

Качественные выводы рассмотренного здесь нелинейного подхода остаются справедливыми для пучков сплошного сечения и для всех однородных в продольном направлении замедляющих структур. Более того, можно утверждать, что при больших токах пучка, когда будет развиваться неустойчивость индивидуальной пучковой моды (пространственная картина поля неустойчивой волны определяется пучком и близка к характеристикам циклотронной волны), наши рекомендации останутся в силе: начальная затравка пучковой циклотронной волны должна быть невелика, а расстройка должна находиться в диапазоне $-\Delta_L < \Delta < 0$, где в данном случае Δ_L — вычисленная в линейной задаче ширина резонанса пучковой моды.

Авторы хотели бы выразить свою благодарность В.Г. Гапановичу за полезные совместные обсуждения и Н.С. Гинзбургу за плодотворную дискуссию.

Список литературы

- [1] Fachl R.J., Newberger B.S., Godfrey B. B., //Phys. Fluids. 1980. Vol. 23. N 12. P. 2440-2453.
- [2] Sloan M.L., Drummond W.E. //Phys. Rev. Lett. 1973. Vol. 31. N 20. P. 1234-1237.
- [3] Барыбин А.А., Горин Ю.Н. //РиФ. 1969. Т. 14. Вып. 7. С. 1257-1263.
- [4] Иванов Б.И., Горожанин Д.В., Мирошниченко В.А. //Письма в ЖТФ. 1979. Т. 5. Вып. 18. С. 1112-1116.
- [5] Cornet E.A., Davis H.A., Starke T.P. et al. //Phys. Fluids. 1981. Vol. 24. N 11. P. 2039-2048.
- [6] Пирс Дж. Лампа с бегущей волной. М.: Сов. радио, 1952. 229 с.
- [7] Железняков В.В. //Изв. вузов. Сер. Радиофизика. 1959. Т. 2. № 1. С. 14-27.
- [8] Нечаев В.Е. //Изв. вузов. Сер. Радиофизика. 1977. Т. 20. № 4. С. 598-604.
- [9] Капчинский М.И., Коренев И.Л., Юдин Л.А. //Изв. вузов. Сер. Радиофизика. 1981. Т. 24. № 9. С. 1087-1094.
- [10] Гинзбург Н.С. //Изв. вузов. Сер. Радиофизика. 1979. Т. 22. № 4. С. 470-479.
- [11] Кузнецов С.П., Четвериков А.П. //Изв. вузов. Сер. Радиофизика. 1981. Т. 24. № 1. С. 109-117.
- [12] Гинзбург Н.С. //ЖТФ. 1988. Т. 58. Вып. 6. С. 1078-1083.
- [13] Вайнштейн Л.А. Электромагнитные волны. М.: Сов. радио, 1957.
- [14] Ландау Л.Д., Либшиц Е.М. Механика. М.: Наука, 1973. § 30.
- [15] Белов Н.Е. //Тр. РТИ АН СССР. Вып. 31. М., 1978. С. 135-146.
- [16] Коренев И.Л., Юдин Л.А., Мустафин Х.Х. //Изв. вузов. Сер. Радиофизика. 1979. Т. 22. № 12. 1523-1533. Физика плазмы. 1982. Т. 8. № 2. С. 339-347.
- [17] Коломенский А.А., Лебедев А.Н. //ДАН СССР. 1962. Т. 145. Вып. 6. С. 1259-1261.
- [18] Давыдовский В.Я. //ЖЭТФ. 1962. Т. 43. Вып. 3(9). С. 886-888.
- [19] Братман В.Л., Гинзбург Н.С., Петелин М.И. //Письма в ЖЭТФ. 1978. Т. 28. Вып. 4. С. 207-211.
- [20] Братман В.Л., Гинзбург Н.С., Петелин М.И. //ЖЭТФ. 1979. Вып. 3. С. 930-943.
- [21] Гинзбург Н.С., Сергеев А.С. //ЖТФ. 1990. Т. 60. Вып. 8. С. 40-52.
- [22] Гинзбург Н.С. //Релативистская высокочастотная электроника. Вып. 3. Горький, 1983. С. 26-95.

Московский радиотехнический
институт

Поступило в Редакцию
27 мая 1991 г.
В окончательной редакции
3 марта 1993 г.